



# InBody 120

☎ 55 1309 5219  
☎ 55 50250147  
✉ info.mx@inbody.com

## Analizador de la Composición Corporal InBody - Biospace Línea profesional

### Especificaciones

Método de análisis por segmento directo, multi-frecuencia de impedancia magnética

Frecuencias 20kHz, 100kHz

Duración 15- 17 seg.

Hoja de Resultados A4(Adulto)

Peso/Dimensión Con pedestal: 5.7 kg  
393 x 516 x 732 mm

Peso/Dimensión sin pedestal: 4.3 kg  
392 x 434 x 55.2 mm

Rango de Edad 3 – 99 años

Rango de Estatura 50 – 300 cm

Rango de peso 5- 250 kg

### Adicionales



Estadímetro InLab



Toallas electroconductoras



Software LookinBody120



Mochila de transporte



Pedestal

### Aplicación

- ▶ Hogar
- ▶ Recién egresados de nutrición
- ▶ Nutrición comunitaria

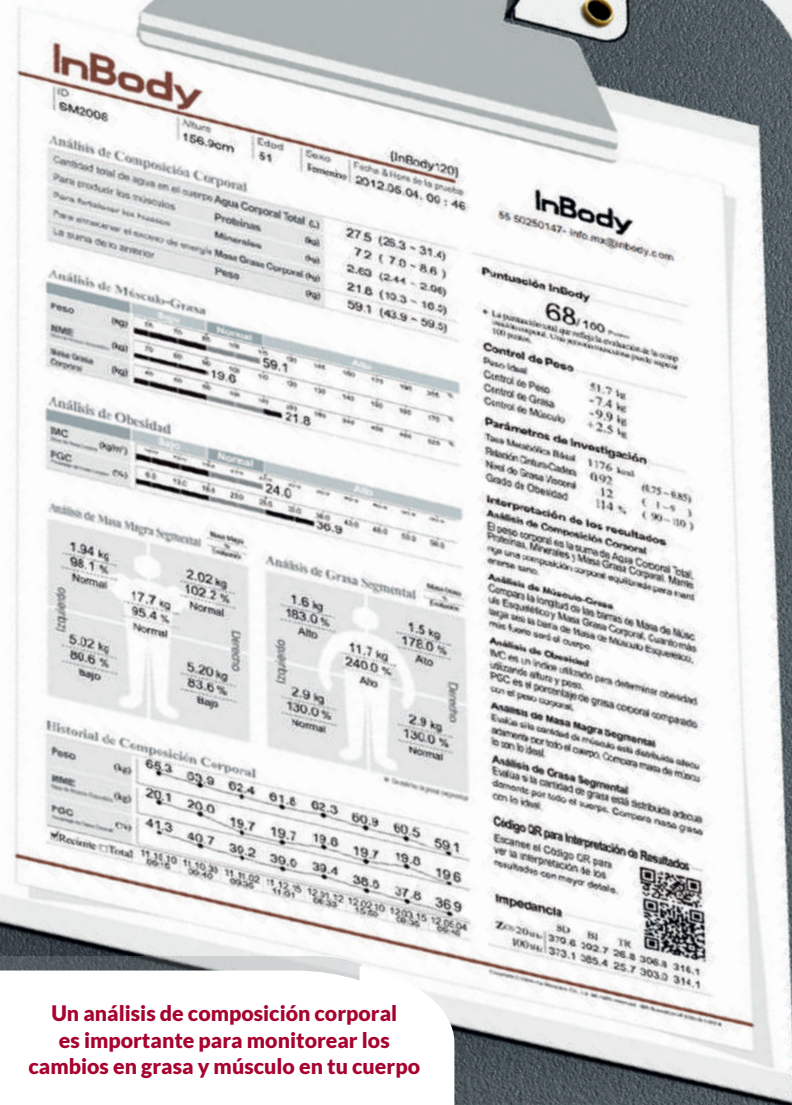
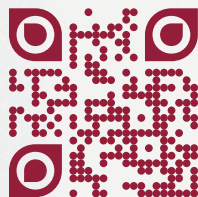


# InBody 120

✉ info.mx@inbody.com

☎ 55 50250147

☎ 55 1309 5219



**Un análisis de composición corporal es importante para monitorear los cambios en grasa y músculo en tu cuerpo**

## REFERENCIAS

1. Brozek J, Grande F, Anderson JT, Keys A. Densitometric analysis of body composition: Revision of some quantitative assumptions. Ann N Y Acad Sci. 1963 Sep 26;110:113-40
2. Heymsfield SB, Smith R, Aulet M, Bensen B, Lichtman S, Wang J, Pierson RN Jr. Appendicular skeletal muscle mass: measurement by dual-photon absorptiometry. Am J Clin Nutr. 52(2):214-8, 1990
3. Lohman TG. Advanced in body composition assessment - Current issues in exercise science series. Champaign-IL: Human Kinetics. pp 80. 1992
4. WHO and the National Heart, Lung, and Blood Institute : Clinical guideline on the Identification, Evaluation, and treatment of overweight and obesity in adults, the evidence report. 1998 (Obes Res 6(suppl 2):51S, 1998)
5. No se han publicado datos sobre la masa magra segmental. El valor ideal proporcionado se basa en los datos estadísticos de la distribución segmental de la masa magra según los datos internados de InBody Co., Ltd (aproximadamente 20,000 sujetos).
6. Sartorio A, Malavolti M, Agosti F, Marinone PG, Calti O, Battistini N and Bedogni G. Body water distribution in severe and its assessment from eight-polar bioelectrical impedance analysis.
7. Marken Lichtenbelt WD, Fogelholm M. Increased extracellular water compartment relative to the intracellular water compartment after weight reduction J Appl Physiol. 1999 Jul;87(1):294-8